

05;06;12

## ИДЕНТИФИКАЦИЯ ГЕКСАГОНАЛЬНОЙ ФАЗЫ В ЭПИТАКСИАЛЬНОЙ СИСТЕМЕ GaP/Zn(Mg)S

© Р.Н.Кютт, В.П.Улин, А.А.Дышеков, Ю.П.Хапачев

Физико-технический институт им. А.Ф. Иоффе РАН,

194021 Санкт-Петербург, Россия

Кабардино-Балкарский государственный университет,

360004 Нальчик, Россия

(Поступило в Редакцию 5 июня 1995 г.)

Методом газофазной эпитаксии на гранях  $(10\bar{1}0)$ ,  $(11\bar{2}0)$ ,  $(1\bar{2}30)$  подложки Zn(Mg)S выращены пленки GaP. Рентгенодифракционным методом проведена оценка структурного совершенства и уровня релаксации напряжений в системе и установлено наличие гексагональной фазы в эпитаксиальной пленке GaP. Обсуждаются возможности определения параметров решетки гексагональной фазы в аналогичных системах в отсутствие релаксации напряжений.

### Введение

Для всех соединений  $A^{III}B^V$ , за исключением нитридов (GaN, AlN), кубическая структура сфалерита является термодинамически стабильной, а гексагональная структура вюрцита и сопряженные с ней структуры политипов ( $4H$ ,  $6H$ , ...) являются термодинамически метастабильными.

Понижение симметрии кристаллической решетки при переходе от кубической структуры сфалерита к гексагональной структуре вюрцита ведет к существенным изменениям на уровне энергетической зонной структуры полупроводника. Для большинства соединений  $A^{II}B^{VI}$  такое превращение увеличивает энергию прямых оптических переходов в центре зоны Бриллюэна на величину 60–80 мэВ. Однако наиболее значительные изменения свойств полупроводника должны быть связаны с относительным изменением положений энергетических минимумов в симметричных точках зоны Бриллюэна и усилением анизотропии оптических и электрофизических параметров материала. В этом отношении особенно интересно проследить изменение свойств, связанных с трансформацией кристаллической структуры для широкозонных соединений  $A^{III}B^V$ , таких как GaP и твердых растворов на его основе.

Выращивание монокристаллических слоев метастабильной фазы со структурой вюрцита требует выполнения двух важнейших условий [1].

1. Создание в среде кристаллизации на границе подложкой пересыщения, достаточно для выделения из нее метастабильной фазы, т.е. химическое средство реакции, приводящей к образованию требуемого соединения в стабильной модификации (со структурой сфалерита) должно многократно превышать разницу свободных энергий метастабильной и стабильной фаз. Теоретические оценки такой разницы для Si дают 14 мэВ/атом, что по порядку величины должно быть близко к аналогичному значению для GaP, т.е. всего 0.65 ккал/моль. Пересящение на порядок больше легко создается в условиях газофазной эпитаксии из металлоорганических соединений.

2. Наличие подложки со структурой вюрцита и с ориентацией, обеспечивающей высокую плотность центров адсорбции с максимальной глубиной потенциальной ямы для адатомов кристаллизуемого вещества и отсутствие подобия по потенциальному рисунку плоским сеткам кубического кристалла. Такими плоскостями могут быть плоскости (1121), (1010), (1120), (1230) и (1122). При этом, очевидно, должно выполняться условие близости межатомных расстояний в кристалле подложке и эпитаксиальном слое.

Выращивание GaP со структурой вюрцита проводилось методом газофазной эпитаксии из металлоорганических соединений на установке Еріquір VP50-LP (Sweden) в атмосфере чистого водорода с точкой росы  $-103^{\circ}\text{C}$ . Кристаллизация происходила в режиме пониженного давления, равного 200 мбар в горизонтальном реакторе с ВЧ нагревом. Общий поток водорода в реакторе составлял 8 л/мин. Источником галлия служил триметилгаллий, а источником фосфора — фосфин. Температура источника — триметилгаллия составляла  $-10^{\circ}\text{C}$ , а фосфин вводился в реактор в виде 20%-ной смеси фосфина в водороде. Температура кристаллизации равнялась  $700^{\circ}\text{C}$ . Скорость роста эпитаксиального слоя составляла 2 мкм/ч. В качестве подложки использовались монокристаллы ZnS, стабилизированные Mg. Пленки GaP выращены на трех гранях: (1010), (1120) и (1230) (рис. 1). По оценкам химическое средство реакции образования GaP в этих условиях составляло 7–8 ккал/моль, т.е. многократно превышало разницу свободных энергий метастабильной, гексагональной и стабильной кубической фаз.

### Выбор дифракционной геометрии

Для идентификации кубической и гексагональной фаз необходимо выбрать отражения, не имеющие аналогов в другой сингонии.

1) Симметричные брэгговские отражения от граней 1 и 2 (рис. 1) для этого не годятся, так как совпадают с соответствующими рефлексами кубической сингонии. Рефлекс (3030) совпадает с (242), а рефлекс (1120) — с (220) кубического кристалла. Эти рефлексы были использованы для измерения межплоскостных расстояний и для оценки структурного совершенства и уровня релаксации.

2) Грань 3 — (1230) не имеет аналога в кубическом кристалле, однако соответствующий разрешенный рефлекс имеет высокий порядок и на СИК- $\alpha$ -излучении не может быть наблюдаем.

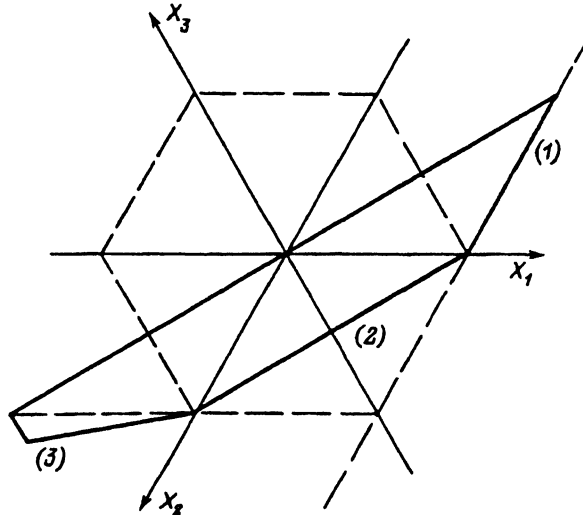


Рис. 1. Схема подложки ZnMgS и граней, на которых выращены пленки GaP. Грань 1 —  $(10\bar{1}0)$ , грань 2 —  $(11\bar{2}0)$ , грань 3 —  $(12\bar{3}0)$ .

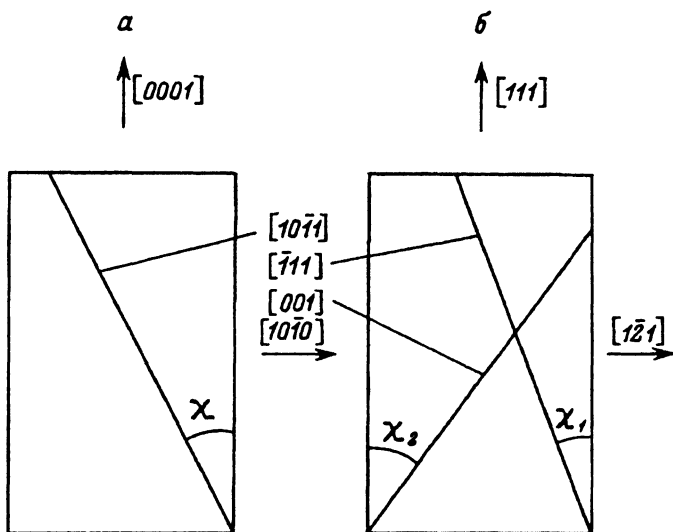


Рис. 2. Схема отражающих плоскостей.

*a* — гексагональная модификация  $X = 27^{\circ}58'$ ; *б* — кубическая модификация  $X_1 = 19.5^{\circ}$ ,  $X_2 = 35^{\circ}$ .

3) Для идентификации гексагональной фазы годятся рефлексы от плоскостей решетки, имеющих наклон относительно вертикальной оси  $[0001]$  ( $[111]$ ): а) для зоны плоскостей, содержащих грань  $(10\bar{1}0)$  (или  $(1\bar{2}1)$  в кубическом кристалле) реальные плоскости имеют разные углы  $X$  относительно параллельной грани плоскости для кубической и гексагональной сингоний (рис. 2, *a*, *b*) (ось зоны — след грани 1 с плоскостью на рис. 1). Для гексагональных кристаллов ближайшая, составляющая наименьший угол наклонная плоскость  $(10\bar{1}1)$  ( $\varphi = 27^{\circ}58'$ ).

Для кубического кристалла могут быть два варианта: плоскости (111) ( $\chi = 19.5^\circ$ ) или плоскости (001) ( $\chi = 35^\circ$ ); б) для зоны плоскостей, содержащих грань (1120), наклонные плоскости кубического и гексагонального кристаллов совпадают  $H[11\bar{2}1] = H[531]$  ( $H$  — вектор обратной решетки); в) для зоны с гранью (1230) ближайшие, составляющие наименьший угол с гранью, отражающие плоскости кубической решетки (133) ( $\chi = 7.5^\circ$ ), отражающие плоскости гексагональной решетки (1231) ( $\chi = 11.5^\circ$ ). Различие в наклоне плоскостей  $\sim 4^\circ$  достаточно, чтобы вывести в отражение каждую из них в отдельности, а близость брэгговских углов  $\Theta_B(133) = 38.1^\circ$ ,  $\Theta_B(1231) = 38.9^\circ$  делает эти рефлексы оптимальными для обнаружения и сравнения кубической и гексагональной фаз в случае их одновременного присутствия.

4) Поскольку в некоторых случаях угол  $\chi$  между плоскостями и поверхностью больше брэгговского угла первого порядка отражений от этих плоскостей, то наиболее удобной в таком случае является некомпланарная схема измерений, при которой нормаль к поверхности (грани) не лежит в плоскости рассеяния.

В этом случае ось зоны (линия пересечения отражающих плоскостей и поверхности) устанавливается горизонтально, затем с помощью  $\chi$ -сканирования (поворота вокруг оси зоны) вектор обратной решетки (нормаль к отражающим плоскостям) выводится на плоскость рассеяния, а затем осуществляется обычное сканирование около брэгговского угла вокруг вертикальной оси.

### Измерение межплоскостного расстояния

Точное значение параметра решетки гексагональной фазы GaP неизвестно. В нашем случае стандартный метод определения деформации или относительного изменения параметра решетки (в частном случае полной релаксации напряжений) по расстоянию между максимумами отражений пленки и подложки не является оптимальным из-за возможных разориентаций пленки и подложки. Поэтому был использован трехкристальный способ измерения параметра решетки (деформации) пленки относительно эталона с близким значением брэгговского угла [2].

Согласно [2], измеряется разница в угловых положениях максимума интенсивности на шкале анализатора  $2\Theta_A$  при последовательной установке на месте второго кристалла образца и эталона. В качестве эталона использовался кристалл Si (100).

В случае полной релаксации напряжений в системе пленка-подложка ( $\Delta\Theta_A$ ) связано с относительным изменением межплоскостного расстояния следующим образом:

$$\Delta\Theta_A = -\frac{d^{pl} - d^{et}}{d^{et}} 2 \operatorname{tg} \Theta_B, \quad (1)$$

где  $\Theta_B$  — угол Брэгга,  $d^{pl(et)}$  — межплоскостные расстояния исследуемой пленки и эталона соответственно.

## Результаты измерений

1) Параметр решетки и идентификация гексагональной фазы. Кривые, полученные с помощью  $2\Theta$ -сканирования (вращение анализатора при неподвижном, настроенном на максимум отражения пленки или подложки, образце), приведены на рис. 3. Кривые даны в шкале  $2\theta_A$  анализатора, штриховой кривой показан максимум от эталона (Si, рефлекс 220).

Наблюдается пик раздвоенной формы от пленки (грань 11 $\bar{2}0$ ). Относительные величины ( $\Delta d/d$ ) (относительно эталона) получаются следующими: ( $\Delta d/d$ ) — (подложка Zn(Mg)S) =  $-1.72 \cdot 10^{-3}$ , ( $\Delta d/d$ ) =  $3.02 \times 10^{-3}$  и  $3.80 \cdot 10^{-3}$  для двух максимумов пленки.

Проанализируем возможные причины появления двойного максимума от пленки. Во-первых, это может осуществляться в том случае, когда релаксация напряжений на гетерогранице не прошла полностью. Тогда одни и те же напряжения по-разному деформируют элементарные ячейки кубической и гексагональной фаз вследствие их неодинаковых упругих свойств. Такая ситуация приводит к тому, что чередующиеся слои этих фаз находятся в напряженном состоянии. Аналогичным образом могут влиять и термоупругие напряжения из-за возможной разницы коэффициентов теплового расширения фаз вюрцита и сфалерита.

Возможно, однако, и другое объяснение. Известно, что структуры вюрцита и сфалерита соотносятся друг к другу как дефект упаковки. Если при этом параметры их элементарных ячеек не подчиняются соотношениям геометрической кристаллографии [3]  $a_1 = a_2/\sqrt{2}$ ,  $c_1 = 2a_2/\sqrt{3}$ , вытекающим из представления об идеальной плотной упаковке, то отражения от плоскостей (220) и (11 $\bar{2}0$ ) не будут совпадать.

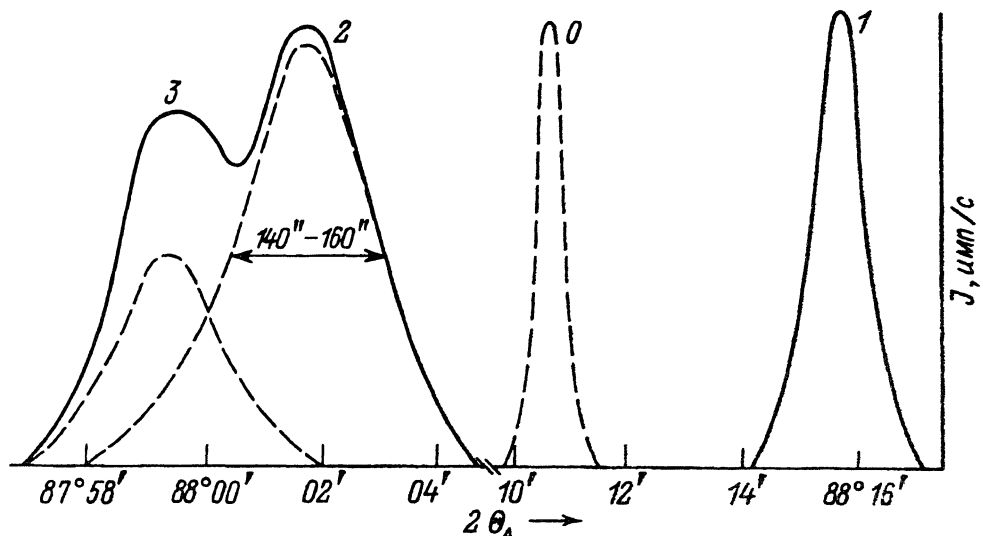


Рис. 3. Трехкристальные пики  $2\Theta_B$ -сканирования для образца, излучение  $\text{CuK}\alpha_1$ .

Симметричное отражение (11 $\bar{2}0$ ): 0 — пик от эталона Si, 1 — пик подложки (220), 2, 3 — пики от GaP.

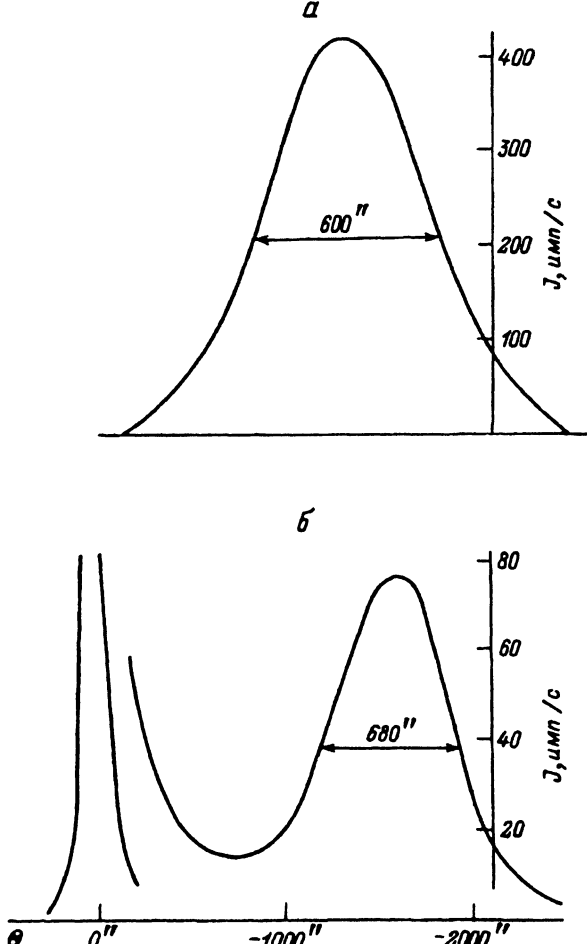


Рис. 4. Двухкристальные кривые отражения  $(13\bar{3})$  (а) и  $(12\bar{3}1)$  (б).

Таким образом, двойной максимум от пленки, выращенной на грани  $(11\bar{2}0)$ , свидетельствует об одновременном наличии в пленке кубической и гексагональной фаз.

Измерение асимметричных отражений для всех трех групп граней на трехкристальном рентгеновском спектрометре (TPC) показало, что на гетерогранице имеет место полная релаксация напряжений несоответствия ( $(\Delta d/d)_\parallel = (\Delta d/d)_\perp$ ) в пределах точности измерений  $\Delta d/d \approx 5 \cdot 10^{-5}$ . Поэтому  $\Delta d/d$  относительно эталона можно привести к абсолютным значениям параметра решетки. Если взять  $a(\text{Si})=5.4305 \text{ \AA}$ , то для двух максимумов пленки получается  $a(\text{GaP})=5.447$  и  $5.451 \text{ \AA}$ .

Гексагональная фаза GaP обнаруживается также и при измерении отражения  $(12\bar{3}1)$  на двух гранях  $(11\bar{2}0)$  и  $(12\bar{3}0)$ .

Двухкристальные кривые рефлексов  $(12\bar{3}1)$  и  $(13\bar{3})$  приведены на рис. 4. На нижней кривой  $(12\bar{3}1)$  видны два пика: от подложки и от пленки, т.е. имеется гексагональная фаза GaP. Однако наряду с этим

Измеренные значения полуширины  $W$  для симметричных и асимметричных отражений от пленки GaP, выращенной на подложке ZnMgS

$W$		$H$	$\chi$ , град	$\Theta$ , град
Грань 11̄20	Грань 12̄30			
960"	2100"	222	19.5	29.0
1600"	2280"	004	35.0	34.5
600"	714"	133	7.5	38.1
680"	940"	12̄31	11.5	38.9
860"	1210"	2242	17.0	57.3
		531		

от этой же грани наблюдается максимум (13̄3) при настройке на соответствующую плоскость.

Таким образом, на грани (11̄20) существуют гексагональная и кубическая фазы GaP. Аналогичная ситуация имеет место и для грани (12̄30).

2. Оценка структурного совершенства. В первом приближении структурное совершенство можно оценить по ширине пиков отражения от пленки на двухкристальной кривой. Ниже приводится таблица значений полуширины  $W$  для измеренных симметричных и асимметричных отражений. Из таблицы видны, по крайней мере, два результата: а) пленка на грани (11̄20) более совершенна, чем на грани (12̄30) (все пики в первом случае уже, чем во втором); б) сравнение гексагонального и кубического отражений для граней (11̄20) показывает примерно равную полуширину, т.е. одинаковую степень нарушений. Это, по всей вероятности, говорит о том, что две фазы существуют в виде прослоек. Однако на грани (12̄30) полуширина гексагонального рефлекса больше.

### Теория определения параметра решетки гексагональной фазы в отсутствие релаксации напряжений

В обзорах [4,5] приведены результаты по теории упруго-напряженного состояния гетероструктур, состоящих из слоев одинаковой кристаллографической сингонии. Если в процессе роста эпитаксиальной пленки с параметром решетки, отличным от параметра решетки подложки, имеет место полностью или частично когерентное сопряжение атомных решеток, то в гетероструктуре существует собственная деформация. Собственная деформация в гетероструктуре описывается тензором несоответствия параметров решеток (НПР), который в случае, если кристаллографические ориентации пленки и подложки совпадают, имеет диагональный вид. Диагональные компоненты тензора НПР имеют смысл относительного изменения параметров решеток пленки и подложки вдоль соответствующих кристаллографических направлений.

Введение тензора НПР позволяет адекватно описывать упруго-напряженное состояние гетероструктур с учетом анизотропии упругих

свойств эпитаксиальных слоев и подложки, наличия в системе пластической деформации (в частности дислокаций), а также изменения параметра решетки и упругих констант по глубине гетероструктуры на основе континуального описания. Такое описание проводится путем обобщения анизотропного закона Гука для кристаллов на случай собственной деформации (тензора НПР), определяющей макроскопические напряжения и полную деформацию системы.

Несоответствие параметров решеток эпитаксиальной пленки и подложки  $\beta$  определяется по следующей общей формуле:

$$\beta = q_1 \varepsilon_{xx} + q_2 \varepsilon_{yy} + q_3 \varepsilon_{zz}, \quad (2)$$

где  $\varepsilon_{ij}$  — усредненные по толщине пленки компоненты тензора полной деформации;  $q_i$  — корреляционные факторы, учитывающие анизотропию упругих свойств кристалла.

Факторы  $q_i$  зависят от компонент тензора упругой жесткости  $C_{ijkl}$  и их конкретный вид задается ориентацией роста эпитаксиальной пленки. В формуле (2) координата  $Z$  направлена по нормали в глубь кристалла, а координаты  $X$  и  $Y$  лежат в плоскости гетерограницы.

Отметим, что формула (2) допускает обобщение на случай, когда упругие константы эпитаксиального слоя и подложки не совпадают [6].

Для гексагональной сингонии тензор  $\beta_{ij}$  имеет две независимые компоненты и в случае естественной ориентации эпитаксиальной пленки (ось  $Z$  параллельна кристаллографическому направлению [0001]) и записывается в виде

$$\beta_{ij} = \beta_{ij} \delta_{ij}, \quad i, j = x, y, z, \quad (3)$$

где  $\delta_{ij}$  — символ Кронекера.

Для произвольной ориентации эпитаксиальной пленки тензор  $\beta_{ij}$  должен быть подвергнут преобразованию согласно общему закону преобразования тензора второго ранга. Диагональный вид его, однако, при этом не нарушается.

Согласно теоретическим оценкам [7], величина компонент  $\varepsilon_{xx}$  и  $\varepsilon_{yy}$  тензора деформации в плоскости гетерограницы имеет порядок  $\beta h/L$ , где  $h$  — толщина пленки,  $L$  — толщина подложки. Поскольку компонента  $\varepsilon_{zz} \sim \beta$ , то ясно, что для рассматриваемых структур компонентами  $\varepsilon_{xx}$  и  $\varepsilon_{yy}$  в пределах точности эксперимента можно пренебречь.

Если из независимых измерений можно определить параметры гексагональной ячейки  $a$  и  $c$  и тем самым найти  $\beta_{ij}$ , то по формуле (2) можно вычислить значение корреляционного фактора  $q_3$ . Величина  $\varepsilon_{zz}$  при этом определяется из РД эксперимента по угловому расстоянию между дифракционными максимумами пленки и подложки.

Располагая измеренными таким образом значениями корреляционного фактора  $q_3$  для различных ориентаций эпитаксиальной пленки, можно определить компоненты тензора упругой жесткости эпитаксиальной пленки.

Зная величину корреляционного фактора  $q_3$  для одной из ориентаций эпитаксиальной пленки, можно вычислить его для ряда других ориентаций соответствующим преобразованием компонент тензора упругой жесткости. В итоге по формуле (2) можно определить  $\beta_{ij}$  при отсутствии релаксаций напряжения, т.е. в том случае, когда прямое измерение параметров решетки из РД эксперимента невозможно.

### Список литературы

- [1] Конников С.Г., Улин В.П., Шайович Я.Л. Способ получения монокристаллических пленок полупроводниковых материалов. А.С. № 1730218 от 03.01.1992.
  - [2] Кютт Р.Н., Сорокин Л.М., Аргунова Т.С., Рувимов С.С. // ФТТ. 1994. Т. 36. Вып. 9. С. 2700-2714.
  - [3] Шаскольская М.П. Кристаллография. М., 1976. 391 с.
  - [4] Хапачев Ю.П., Чуховский Ф.Н. // Кристаллография. 1989. Т. 34. Вып. 3. С. 776-800.
  - [5] Chukhovskii F.N., Khapachev Yu.P. // Crystallography Rev. 1993. Vol. 3. N 3. P. 257-328.
  - [6] Хапачев Ю.П., Чуховский Ф.Н. // Металлофизика. 1987. Т. 9. № 4. С. 64-68.
  - [7] Дышеков А.А., Хапачев Ю.П. // Металлофизика. 1986. Т. 8. № 6. С. 15-22.
-